

集成运放高Q模拟大电感*

张凤祥 邵倩芬
(中国科学院武汉物理研究所)

提 要

本文提出一种用集成运算放大器作成的高 Q 模拟大电感($L = 1H, Q = 252$)。较文献[1]提出的用集成运算放大器制成的模拟电感($Q = 15.8$)的 Q 值提高近16倍。此外,文中还以 $L = 100H, Q = 100$ 的模拟电感为例,叙述了这类高 Q 模拟电感的设计方法。

一、引言

文献[1, 2]采用图1的电路制作了一个有损耗的模拟电感,其电感的 $Q_{\max} = 15.8$ 。我们对图1的电路作了改进,即在图1电路的 a 、 b 两点间接入一个补偿电阻 r ,具体电路见图2。图2电路的理论分析表明, Q_{\max} 可以趋近无穷大。实验值 $Q_{\max} = 252$ 。

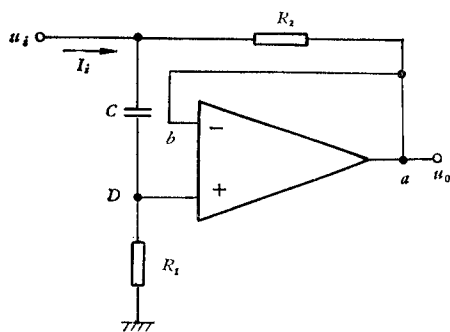


图1 有损耗的模拟电感

Fig. 1 Lossy inductor simulation

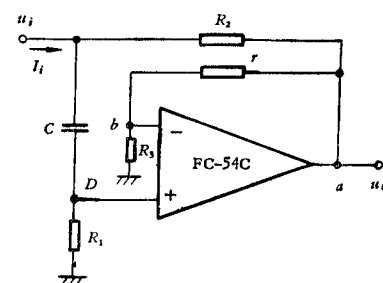


图2 有补偿的高Q模拟电感

Fig. 2 Compensated high Q inductor simulation

二、工作原理

(一) 原理 在图2所示的模拟高 Q 电感的电路中, R_i 和 R_o 分别为图2运算放大器构成的跟随器的输入、输出阻抗。 R_i 基本上等于运算放大器的共模输入阻抗, 比值一般可达十几 $M\Omega$ 至几十 $M\Omega$ ^[3]。 $R_o = Z_0/A$, 其中, A 是运算放大器的开环增益, Z_0 是运算放大器自身的输出阻抗。 R_o 通常很小, 趋近于零^[3]。

由图2可列出下列方程式:

* 1981年8月5日收到。

$$I_i = \frac{u_i}{R_1 + \frac{1}{j\omega c}} + \frac{u_i - u_0}{R_2}, \quad (1)$$

$$u_0 = Ku_1 = Ku_i \frac{R_1}{R_1 + \frac{1}{j\omega c}}, \quad (2)$$

式中, K 为集成运算放大器构成的跟随器的闭环增益, 可以证明:

$$K \approx 1 - A^{-1} - B^{-1} + \frac{r}{R_3} \quad (3)$$

(1)、(2)式中, u_1 、 u_0 分别为集成运算放大器的输入和输出电压; u_i 、 I_i 分别为模拟电感输入端的电压和电流, 我们的实验中 $u_i \leq 1.6V$; (3) 式中的 B 为集成运算放大器的共模抑制比.

由(1)、(2)式可以解出:

$$\begin{aligned} Z_i(j\omega) &= \frac{u_i}{I_i} = \frac{R_2 R_3 \{ R_3 + \omega^2 c^2 R_1 [R_2 R_3 + R_1 R_3 (A^{-1} + B^{-1}) - R_1 r] \}}{R_3^2 + \omega^2 c^2 [R_2 R_3 + R_1 R_3 (A^{-1} + B^{-1}) - R_1 r]^2} \\ &\quad + j\omega \frac{c R_3 R_2 \{ [R_3 - (A^{-1} + B^{-1}) R_3 + r] R_1 - R_2 R_3 \}}{R_3^2 + \omega^2 c^2 [R_2 R_3 + R_1 (A^{-1} + B^{-1}) R_3 - R_1 r]^2} \\ &= R + j\omega L \end{aligned} \quad (4)$$

式中,

$$R = \frac{R_2 R_3 \{ R_3 + \omega^2 c^2 R_1 [R_2 R_3 + R_1 R_3 (A^{-1} + B^{-1}) - R_1 r] \}}{R_3^2 + \omega^2 c^2 [R_2 R_3 + R_1 R_3 (A^{-1} + B^{-1}) - R_1 r]^2}, \quad (5)$$

$$L = \frac{c R_3 R_2 \{ [R_3 - (A^{-1} + B^{-1}) R_3 + r] R_1 - R_2 R_3 \}}{R_3^2 + \omega^2 c^2 [R_2 R_3 + R_1 R_3 (A^{-1} + B^{-1}) - R_1 r]^2}. \quad (6)$$

由(4)式不难看出, 从图 2 中 b 、 D 两点向右看去的电路可以等效成一个有损耗的模拟电感. 此电感的品质因数:

$$Q = \frac{\omega L}{R} = \frac{\omega c \{ R_1 \{ R_3 + [r - (A^{-1} + B^{-1}) R_3] \} - R_2 R_3 \}}{R_3 + \omega^2 c^2 R_1 \{ R_2 R_3 - R_1 [r - (A^{-1} + B^{-1}) R_3] \}}. \quad (7)$$

(二) Q 与 r 的关系 由(7)式可以看出, Q 是 r 的增函数. 现假定图 2 电路的参数如下: $A = 100dB$ 、 $B = 90dB$ 、 $f_0 = 500Hz$ 、 $R_1 = R_3 = 100K\Omega$ 、 $R_2 = 100\Omega$ 、 $c = 0.1\mu F$, 将 $r = 0, 10, 20, 30, 51, 75, 91, 100, 120, 150\Omega \dots$ 代入(7)式计算, 可得表 1. 由表 1 可以看出 $r = 0$ (即图 1 的情形^[1,2]) 时, $Q = 15.8$ 较低; $r > 0$ 时, Q 随 r 值的上升而显著

表 1

$r(\Omega)$	0	10	20	30	51	75	91	100	120	150	160	165
Q 计算	15.8	16.02	17.06	18.04	20.5	24.3	27.8	30.2	37.4	58.1	71.4	80.5
Q 实测	15	16	17.3	18.1	20	24	28	30.5	37.5	58	70	80
$r(\Omega)$	170	172.5	175	180	182	183.5	188	191.5	200	204		
Q 计算	92.3	100	108.3	130.8	142.7	153	200	253	785	∞		
Q 实测	92	99	106	129	140	152	198	252	800 不稳定	振荡		

上升。显然 Q 值的提高是 r 的补偿作用所致。从理论上讲，当 $r \rightarrow R_3[A^{-1} + B^{-1} + \omega^{-2}c^{-2}R_1^{-2} + R_2R_1^{-1}]$ 时， $Q \rightarrow \infty$ ，这就是图 2 电路可以获得高 Q ，优于图 1 电路的原因。

(三) Q 与 ω 的关系

同样由(7)式可以导出，当

$$\omega = \omega_0 = c^{-1}R_3^{\frac{1}{2}}R_1^{-\frac{1}{2}}\{R_2R_3 - R_1[r - (A^{-1} + B^{-1})R_3]\}^{-\frac{1}{2}} \quad (8)$$

时， Q 有最大值。

$$\begin{aligned} Q_{\max} &= \frac{1}{2} \left[\frac{R_1R_3}{\{R_2R_3 - R_1[r - (A^{-1} + B^{-1})R_3]\}} \right]^{\frac{1}{2}} \\ &\quad - \frac{1}{2} \left[\frac{\{R_2R_3 - R_1[r - (A^{-1} + B^{-1})R_3]\}}{R_1R_3} \right]^{\frac{1}{2}} \\ &\cong \frac{1}{2} \left[\frac{R_1R_3}{\{R_2R_3 - R_1[r - (A^{-1} + B^{-1})R_3]\}} \right]^{\frac{1}{2}}. \end{aligned} \quad (9)$$

由(8)式可知，要使 ω_0 为实数，必须使

$R_2R_3 - R_1[r - (A^{-1} + B^{-1})R_3] > 0$ ，即 $R_2R_3 > R_1[r - (A^{-1} + B^{-1})R_3]$ ，故 r 的取值应满足下式

$$0 < r < \frac{R_2R_3}{R_1} + (A^{-1} + B^{-1})R_3. \quad (10)$$

因 R_3 与 R_1 的值处于同一量级，所以

$$r \ll R_3. \quad (11)$$

将 $\omega = \omega_0$ 代入(6)式可得对应的

$$\begin{aligned} L_0 &= \frac{cR_2R_3\{R_1R_3 - R_2R_3 + R_1[r - (A^{-1} + B^{-1})R_3]\}}{R_3^2 + R_3R_1^{-1}\{R_2R_3 + R_1[r - (A^{-1} + B^{-1})R_3]\}} \\ &= \frac{cR_1R_2R_3^2\{1 - R_1^{-1}R_2 + [rR_3^{-1} - (A^{-1} + B^{-1})]\}}{R_3^2(1 + R_2R_1^{-1} + rR_3^{-1} - A^{-1} - B^{-1})} \approx cR_1R_2 \end{aligned} \quad (12)$$

另由(9)式发现，要使 Q_{\max} 大，必须使 $R_1 \gg R_2$ ，即

$$\frac{R_1}{R_2} = m \gg 1. \quad (13)$$

三、电路的设计和实验

(一) 电路设计

由(9)、(8)式可分别得出

$$r = R_3[m^{-1} + A^{-1} + B^{-1} - (2Q_{\max})^{-2}], \quad (14)$$

$$c = \omega_0^{-1}R_3^{\frac{1}{2}}R_1^{-\frac{1}{2}}\{R_2R_3 - R_1[r - (A^{-1} + B^{-1})R_3]\}^{-\frac{1}{2}}. \quad (15)$$

将(14)式代入(15)式可得

$$c = \frac{2Q_{\max}}{\omega_0 R_1}. \quad (16)$$

由(12)、(16)式可得

$$R_2 = \frac{L\omega_0}{2Q_{\max}} \quad (17)$$

通常根据工程上要求的 L 、 ω_0 和 Q_{\max} 的值来确定图 2 所示的模拟电感的元件值。(1)先根据(17)式确定 R_2 。(2)然后根据 $R_i \gg R_1$ 的条件选定一个适当的 R_1 ，故可确定

$m = \frac{R_1}{R_2}$. (3)根据 R_1 和 R_3 处于同一量级的条件选取一个 R_3 . (4)再由(14)、(16)式分别确定 r 和 c .

例如：设计要求 $L = 100H$ 、 $Q_{\max} \geq 100$ 、 $\omega_0 = 2\pi \times 30\text{rad/s}$ ；运算放大器选用 FC-54C 型， $A = 100\text{dB}$ 、 $B = 90\text{dB}$ ；试确定图 2 电路的元件值. (1)由(17)式可知，

$$R_2 = \frac{L\omega_0}{2Q_{\max}} = 95\Omega,$$

取 $R_2 = 100\Omega$. (2) 取 $R_1 = 500K\Omega$, 故

$$m = \frac{R_1}{R_2} = 5000.$$

(3)取 $R_3 = 200K\Omega$. (4)将上述数据代入(14)、(16)式，则分别得到 $r = 43\Omega$, $c = 2.1\mu\text{F}$. 由(12)式可知 $L_0 \cong cR_1R_2 = 100H$.

(二) 实验 我们采用图 3 所示的电路分别对上述 $L = 100H$ 和 $L = 1H$ 的两种模拟电感的 L 和 Q 值进行了实测. 实测时先使 $c_{\text{串}}$ ($L = 100H$ 时, $c_{\text{串}} = 0.276\mu\text{F}$; $L = 1H$ 时, $c_{\text{串}} = 0.1\mu\text{F}$) 和模拟电感在 f_0 谐振. 然后按上述两种方法均可测得 Q 和 L . (1) 将测得的 u_s 、 u_L (图 3) 和工作频率 f_0 分别代入

$$Q = \frac{u_L}{u_s} = \frac{f_0}{2\Delta f}, \quad (18)$$

$$L = (4\pi^2 f_0^2 c_{\text{串}})^{-1}, \quad (19)$$

即可得到 Q 和 L 的实测值. (2) 在 u_L 点(或者 u_0 点)测出 u_L (或 u_0) 的频率特性曲线的通频带 $2\Delta f$, 再将 $2\Delta f$ 和 f_0 代入(18)式, 即得 Q 的实测值. $L = 1H$ 的电感的实测值是 $0.98H$, Q (随 r 变化) 的实测值见表 1. $L = 100H$ 的电感的实测值是 $102H$, $Q = 100$.

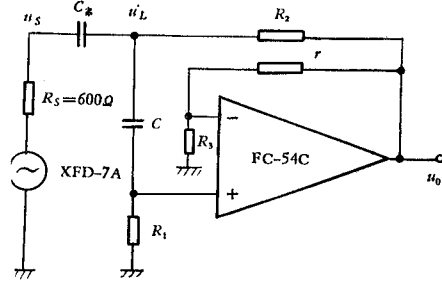


图 3 Q 和 L 的测量电路
Fig. 3 Circuit for measuring Q and L

四、灵敏度的计算

由(7)式可知, Q 是 R_1 、 R_2 、 R_3 、 r 、 c 、 ω 等参数的函数. R_1 、 R_2 、 R_3 、 r 、 c 、 ω 等参数的起伏必然引起 Q 的起伏. 为了定量地分析 Q 值的稳定性, 这里引入 Q 对 x (R_1 、 R_2 、 R_3 、 r 、 c 、 ω 等参数) 的灵敏度 S_x^Q

$$S_x^Q \triangleq \frac{\partial(\ln Q)}{\partial(\ln X)} = \frac{X}{Q} \frac{\partial Q}{\partial X} \quad (20)$$

由(7)式可得：

$$S_{R_1}^Q \cong 1 - Q\omega c R_1 \left[m^{-1} - 2 \frac{r}{R_3} + 2(A^{-1} + B^{-1}) \right], \quad (21)$$

$$S_{R_2}^Q \cong \frac{R_2}{R_1} - \omega c Q R_2, \quad (22)$$

$$S_{R_3}^Q \cong 1 - [Q\omega^{-1}c^{-1}R_1^{-1} + Q\omega c R_2 + Q\omega c R_1(A^{-1} + B^{-1})], \quad (23)$$

$$S_r^Q \cong \frac{r}{R_3} (1 + R_1 \omega c Q), \quad (24)$$

$$S_c^Q \cong 1 - 2\omega c R_1 Q [m^{-1} - r R_3^{-1} + A^{-1} + B^{-1}], \quad (25)$$

$$S_\omega^Q \cong 1 - 2\omega c R_1 Q [m^{-1} - r R_3^{-1} + A^{-1} + B^{-1}]. \quad (26)$$

所以总的灵敏度

$$\begin{aligned} \sum S_X^Q &= S_{R_1}^Q + S_{R_2}^Q + S_{R_3}^Q + S_r^Q + S_c^Q + S_\omega^Q \\ &\cong 4 - 7\omega c Q R_2 + 7\omega c Q R_1 r R_3^{-1} - 7\omega c Q R_1 (A^{-1} + B^{-1}) - Q \omega^{-1} c^{-1} R_1^{-1} \end{aligned} \quad (27)$$

我们对实验中的 $L = 100H$ 、 $Q = 100$ ($f_0 = 30Hz$ 、 $R_1 = 500K\Omega$ 、 $R_3 = 200K\Omega$ 、 $r = 43\Omega$ 、 $R_2 = 100\Omega$ 、 $c = 2.1\mu F$) 和 $L = 1H$ 、 $Q = 100, 152, 252$ ($f_0 = 500Hz$ 、 $R_1 = R_3 = 100K\Omega$ 、 $R_2 = 100\Omega$ 、 $r = 183.4\Omega$ 、 $c = 0.1\mu F$) 的两种模拟电感 Q 值的灵敏度作了计算, 结果如表 2 所示。

表 2

$Q \backslash S_X^Q$	$S_{R_1}^Q$	$S_{R_2}^Q$	$S_{R_3}^Q$	S_r^Q	S_c^Q	S_ω^Q	$\sum S_X^Q$
100($L = 100H$)	3.9687	-3.95	-4.246	4.25	0.01	0.01	0.05
100($L = 1H$)	10.96	-3.14	-5.45	5.4	10.29	10.29	28.3
152($L = 1H$)	17.17	-4.77	-8.80	8.75	16.21	16.21	44.77
252($L = 1H$)	29.1	-7.91	-15.34	15.16	27.42	27.42	75.85

由 Q 与 ω 的关系 (第二·3 节) 可知, 当 $\omega = \omega_0$ 时,

$$Q = Q_{\max} \approx \frac{1}{2} \left\{ \frac{R_1 R_3}{R_2 R_3 - R_1 [r - (A^{-1} + B^{-1}) R_3]} \right\}^{\frac{1}{2}},$$

此时的 $S_{\omega_0}^Q = S_c^Q = \frac{\omega_0}{Q} \frac{\partial Q_{\max}}{\partial \omega_0} = 0$. 所以从要 Q 值稳定这个角度来说, 应使电感的工作角频率 ω 尽量趋近 ω_0 . 表 2 的第一组数据, 因满足 $\omega \rightarrow \omega_0$ 的条件, 所以 $S_c^Q = S_\omega^Q = 0.01 \rightarrow 0$. 而另外三组数据因不满足 $\omega \rightarrow \omega_0$ 的条件, 所以 S_c^Q, S_ω^Q 较大, 即稳定性较差.

五、结 束 语

本文提出的集成运放做成的模拟电感, 具有 Q 值高、电感量大、电路简单、调整方便、体积小、重量轻、性能稳定等优点. 用这种模拟电感可以构成多种形式的有源滤波网络 (高通, 带通, 带阻……). 若用这种滤波网络代替某些仪器仪表中的无源电感构成的滤波网络, 则可使仪器的滤波特性、体积、重量、……等性能大幅度的提高. 我们利用这种电感的高 Q 特点, 制作了图 3 类型的用于频率稳定度测量装置中的低频窄带选频放大器 ($f_0 = 30Hz$, $2\Delta f = 0.3Hz$). 如果将这种选频放大器用于低频频谱分析仪、频率稳定度测试仪和晶体管低频噪声系数测试仪等仪器中, 可使这些仪器的分辨率大大提高^[4].

参 考 文 献

- [1] D. F. Berndt and S. C. Dutta Roy, IEEE J. on SC, **SC-4**(1969), 61.
- [2] S. C. Dutta Roy and V. Nagarajan, IEEE J. on SC, **SC-5**(1970), 95.
- [3] 秦世才、王朝英,集成运算放大器应用原理,天津人民出版社,1979年,第189页。
- [4] BP-6型声频频谱记录仪说明书,天津电子仪器厂。

A HIGH Q LARGE INDUCTOR SIMULATION USING AN INTEGRATED OPERATIONAL AMPLIFIER

Zhang Feng-xiang, Shao Qian-fen
(*Wuhan Institute of Physics, Academia Sinica*)

In this article, a high Q large inductor simulation ($L = 1H$, $Q = 252$) using an integrated operational amplifier is described. Its Q value is 16 times as great as the inductor simulation ($Q = 15.8$) using an integrated operational amplifier described in references[1, 2]. As an example, a design method of $L = 100 H$, $Q = 100$ inductor simulation using an integrated operational amplifier is also given.